

-6

-8

C_e

M_e

Y_e

N

Y

M

C

-6

-8



V

L

O

Y

M

C

V

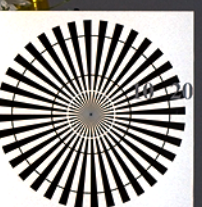
L

O

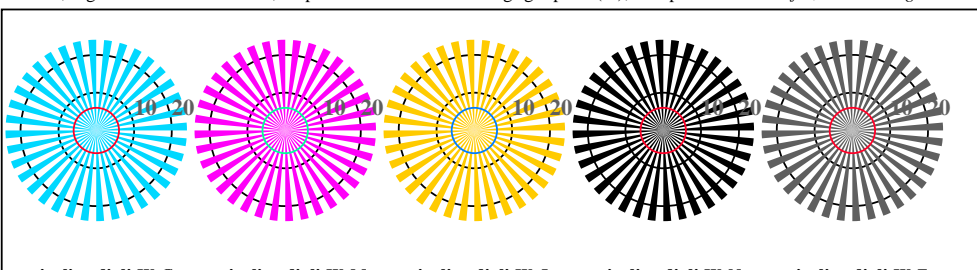
V

L

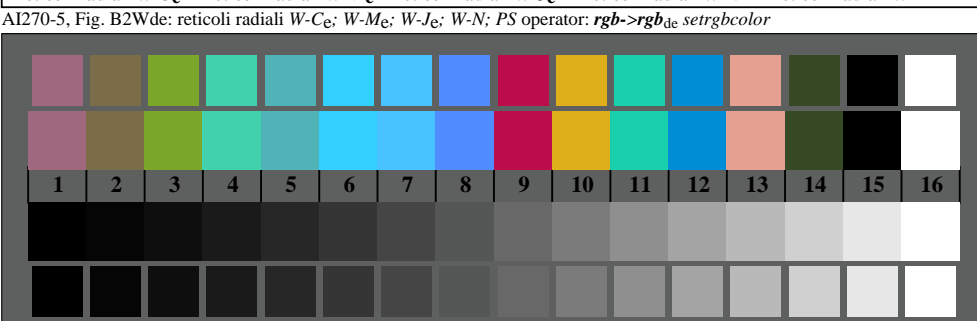
http://standards.iso.org/iso/9241/306/ed-2/AI27/AI27F0NX.PDF /PS; linearizzazione 3D, pagine 13/22
F: linearizzazione 3D AI27/AI27LF0NX.PDF /PS nel file (F)



AI270-3, Fig. B1Wde: Flower motif, 14 prova colori CIE e 2 + 16 grigio passi (nf); PS operator: settransfer, 3 colorimage

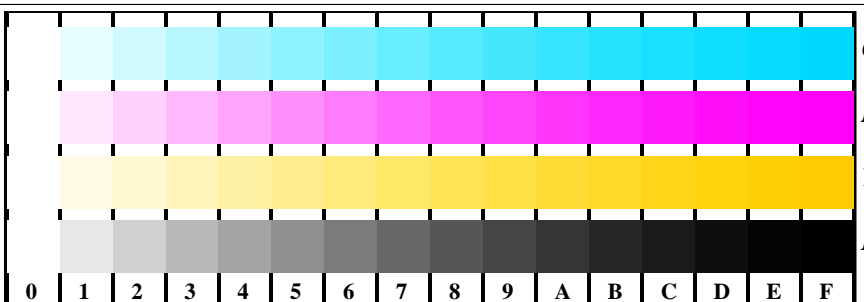


reticolli radiali W-C_e reticolli radiali W-M_e reticolli radiali W-J_e reticolli radiali W-N reticolli radiali W-Z



AI270-7, Fig. B3Wde: 14 prova colori CIE i 2 + 16 grigio passi (sf); $rgb/cm\text{y}0\rightarrow rgb_{de}$ setrgbcolor

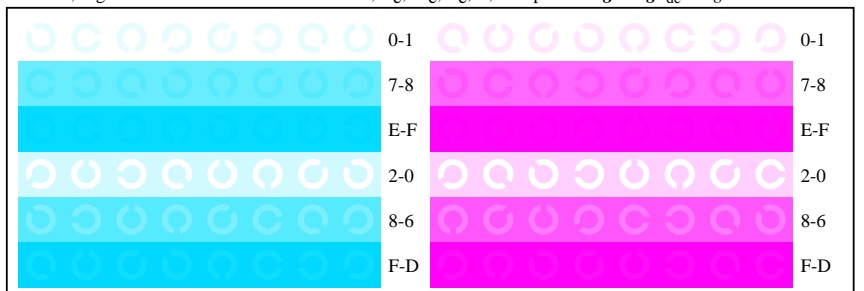
Grafico AI27 conformemente a grafico 2 a ISO/IEC 15775
Tavola dei colori cromatici CMYK



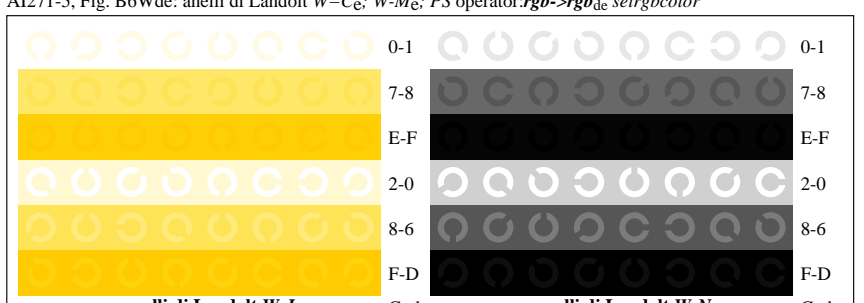
AI271-1, Fig. B4Wde: 16 equidistante passi W-C_e; W-M_e; W-J_e; W-N; $rgb/cm\text{y}0\rightarrow rgb_{de}$ setrgbcolor

++..	C	lmno	0	tuvw	tuvw
xyz;	C	hijk	0	lmno	lmno
tuvw	C	defg	0	pqr	pqr
pqrs	C	!abc	0	hijk	hijk
lmno	C	++..	0	++..	++..
hijk	C	xyz;	0	xyz;	xyz;
defg	C	tuvw	0	tuvw	tuvw
!abc	C	pqrs	0	defg	defg
10	N	lmno	0	6	N C _e M _e Y _e Z
10	N	hijk	0		
10	N	defg	0		
10	N	!abc	0		
10	N	10	0		
10	N	10	0		
10	N	10	0		
10	N	10	0		

AI271-3, Fig. B5Wde: codice i Landolt anelli N; C_e; M_e; Y_e; Z; PS operator: $rgb\rightarrow rgb_{de}$ setrgbcolor



AI271-5, Fig. B6Wde: anelli di Landolt W-C_e; W-M_e; PS operator: $rgb\rightarrow rgb_{de}$ setrgbcolor



AI271-7, Fig. B7Wde: anelli di Landolt W-J_e; W-N; PS operator: $rgb\rightarrow rgb_{de}$ setrgbcolor

Input: $rgb/cm\text{y}0/000n/w$ set...
Output: $\rightarrow rgb_{de}$ setrgbcolor